СРАВНЕНИЕ ПАРАМЕТРОВ АППРОКСИМАЦИИ ФУНКЦИОНАЛОВ ПРОЦЕССОВ ДЛЯ ОРТОГОНАЛЬНО ОТРАЖЕННЫХ ТРАЕКТОРИЙ ДЕФОРМИРОВАНИЯ

Гультяев В. И., д.т.н., Субботин С. Л., д.т.н., проф., Алексеев А. А., к.т.н., доц., Булгаков А. Н., асс., Двужилов А. С., к.т.н.

Тверской государственный технический университет, г. Тверь, Российская Федерация

Построение функционалов или их аппроксимация сложными функциями — непростая задача, требующая проведения большого числа дорогостоящих экспериментов [1, 2]. Для сокращения числа опытов в данной работе производится сравнение параметров для отраженных траекторий деформирования с углами излома 90 и -90 градусов.

В качестве примера взяты результаты, полученные в лаборатории кафедры СМТУиП ТвГТУ на комплексе СН-ЭВМ [3, 4]. Опыты проводились на тонкостенных оболочках из стали 45 (ГОСТ 1050-2013), толщина стенки h=0.97-1.01 мм. Условия проведения опытов нормальные, скоростью деформирования порядка $1\cdot10^{-6}$ с⁻¹. Значение предела текучести принято $\sigma_T=\sigma^T/\sqrt{(2/3)}=328.5$ МПа, модуля упругости $E=2.18\cdot10^5$ МПа, удвоенного модуля сдвига $2G=1.41\cdot10^5$ МПа, коэффициента Пуассона $\mu=0.3$. Материал в достаточной степени начально изотропный, в рабочей части образца напряженное состояние считалось близким к однородному.

Для нахождения компонентов тензоров девиаторов напряжений S_{ij} $(i,\ j=1,2,3)$ и деформаций \mathcal{G}_{ij} $(i,\ j=1,2,3)$, модулей векторов напряжений σ и деформаций \mathcal{G} в девиаторных пространствах напряжений \mathcal{L}_3 и деформаций E_3 , длины дуги траектории s, косинуса угла сближения g, применялись формулы:

Численное моделирование процессов сложного упругопластического деформирования материалов выполнялось по зависимостям В. Г. Зубчанинова:

$$\begin{split} \frac{dS_i}{ds} &= M_1 \frac{d\vartheta_i}{ds} + \left(\frac{d\sigma}{ds} - M_1 cos\vartheta_1\right) \frac{S_i}{\sigma} \\ &\frac{d\vartheta_1}{ds} + k_1 = -\frac{M_1}{\sigma} sin\vartheta_1 \\ &\sigma(s) = \Phi(s) + A f_0^p \Omega(\Delta s) - \Delta \sigma_k \\ &M_1 = 2G_p + \left(2G - 2G_p^0\right) f^q \\ &f = \frac{1 - cos\vartheta_1}{2}, \ f_0 = \frac{1 - cos\vartheta_1^0}{2} \\ &\Omega(\Delta s) = - \left[\gamma \cdot \Delta s \cdot e^{-\gamma \cdot \Delta s} + b \cdot \left(1 - e^{-\gamma \cdot \Delta s}\right)\right] \end{split}$$

УО «ВГТУ», 2025 **407**

где f, f , A, b, γ , p, q — параметры аппроксимаций, M_p $\sigma(s)$ — функционалы процесса, $\Omega(\Delta s)$ — функция, учитывающая скалярный нырок напряжений.

В таблице 1 приведены принятые параметры аппроксимации f, f_q , A, b, γ , p, q, используемые при численном решении дифференциальных уравнений (1) методом Рунге–Кутты 4-го порядка малости.

Таблица 1 – Параметры аппроксимации

$f_{\scriptscriptstyle{ heta}}$	A	b	γ	p	q
0.6	192	0,24	1,8	1	0,50

На рисунке 1 показаны программа деформирования в осях $\mathcal{G}_I - \mathcal{G}_{\mathfrak{Z}}$ и отклик $S_I - S_{\mathfrak{Z}}$, на рисунке 2 диаграммы σ -s, на рисунке 3 – зависимость σ - θ_I . На рисунке 4 приведены совмещенные диаграммы σ -s, σ - θ_I .

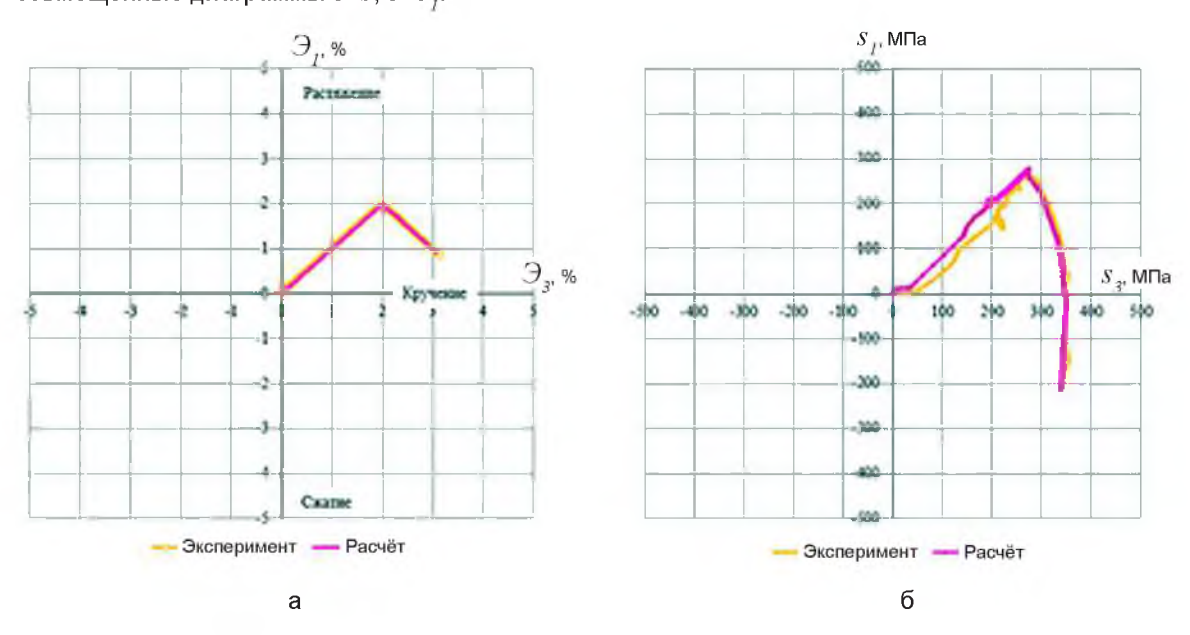


Рисунок 1 – Данные эксперимента а – программы деформирования; б – отклик на программу

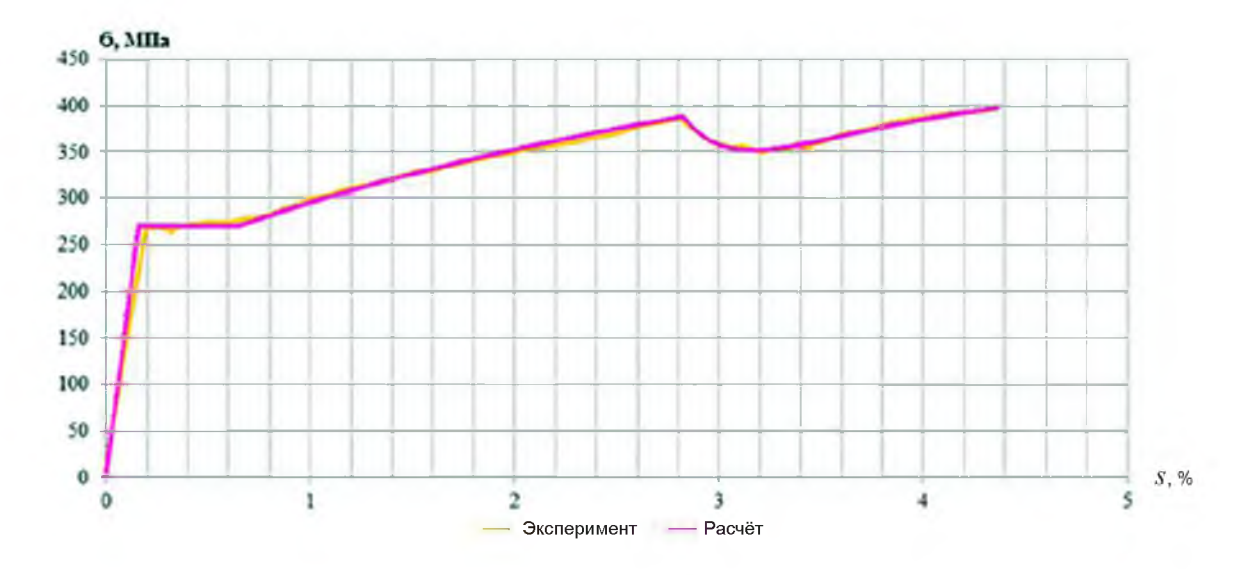


Рисунок 2 – Диаграммы прослеживания процесса $\sigma - s$

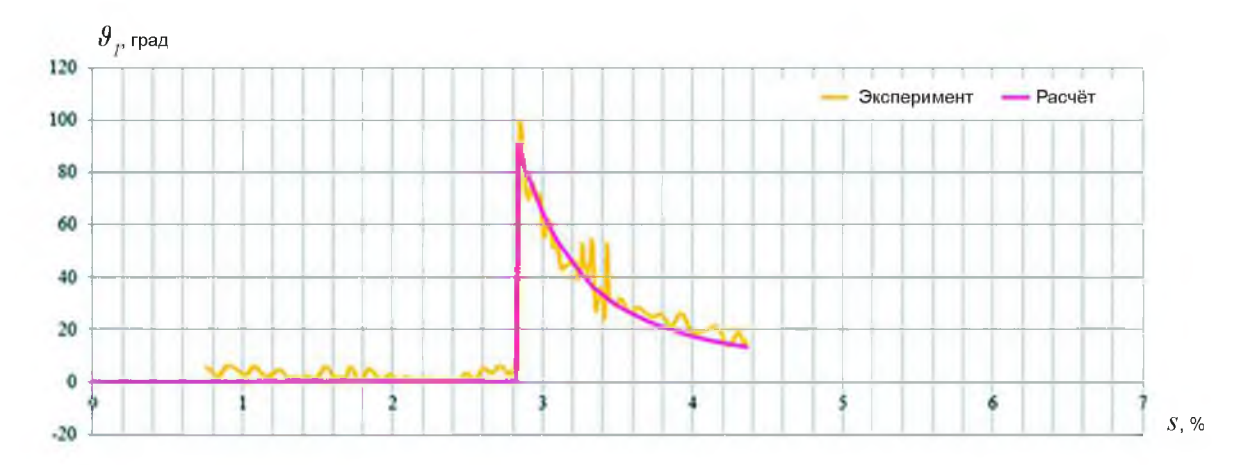


Рисунок 3 — Диаграмма угла сближения θ_{j} — s

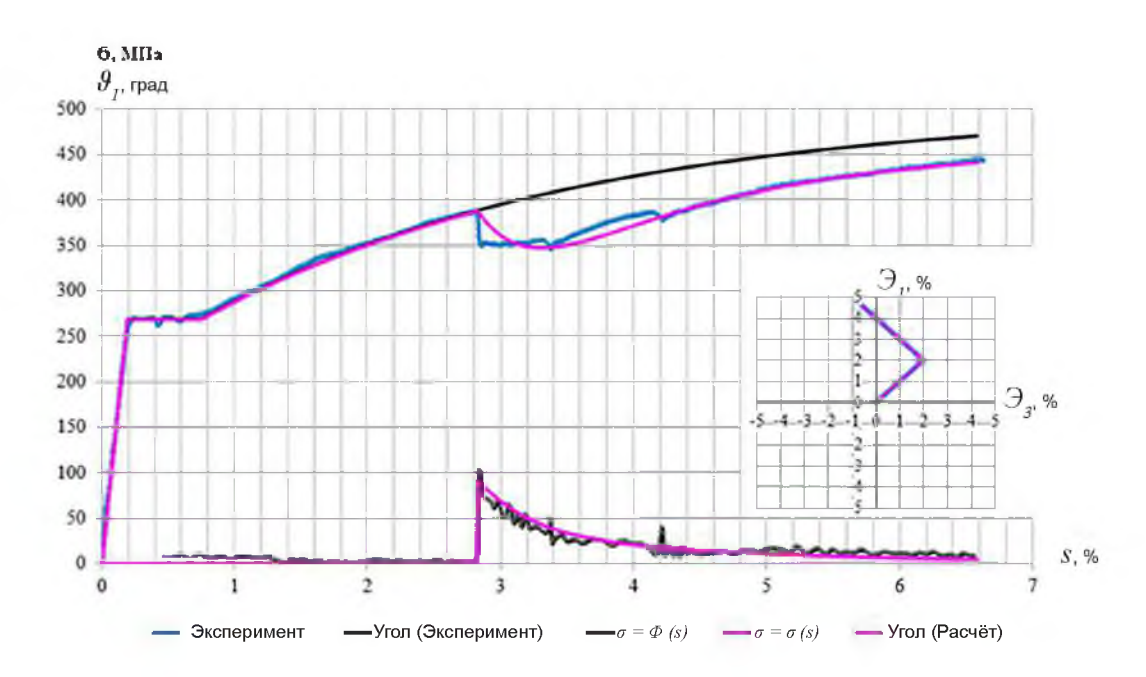


Рисунок 4 – Совмещенные диаграмма деформирования и угла сближения

Наши данные показывают, что для отраженных траекторий деформирования могут использоваться одни и те же параметры аппроксимации, что открывает новые перспективы для дальнейших исследований, например, сравнения параметров при различных углах излома [5, 6, 7].

Список использованных источников

- 1. Зубчанинов, В. Г. Механика процессов пластических сред / В. Г. Зубчанинов. Москва : ФИЗМАТЛИТ, 2010. 352 с.
- 2. Зубчанинов, В. Г. Механика сплошных деформируемых сред. / В.Г. Зубчанинов. Тверь : ЧуДо, 2000. 703 с.
- 3. Гультяев, В. И. Экспериментальное изучение упругопластического деформирования конструкционных материалов на автоматизированном испытательном комплексе СН-ЭВМ / В. И. Гультяев, А. Н. Булгаков // Вестник Чувашского государственного педагогического, университета им. И. Я. Яковлева. Серия. Механика предельного состояния. 2023. № 2(56). С. 53-64. DOI 10.37972/chgpu.2023.56.2.006.
- 4. Экспериментальное исследование материала сталь 45 при деформировании по программам смещённого веера / В. И. Гультяев, А. А. Алексеев, А. Н. Широков, А. Н. Булгаков // Вестник Чувашского государственного педагогического университета

УО «ВГТУ», 2025 4**09**

- им. И.Я. Яковлева. Серия. Механика предельного состояния. 2023. № 2(56). C. 88–98. DOI 10.37972/chgpu.2023.56.2.009.
- 5. Боков, А. В. Изучение скалярных и векторных свойств стали 45 при сложном нагружении по траекториям деформирования в виде полуокружностей / А. В. Боков, А. Н. Булгаков // Международная научно-техническая конференция молодых ученых БГТУ им. В.Г. Шухова : сб. докл., Белгород, 20–21 мая 2024 года. Белгород: Белгородский государственный технологический университет им. В.Г. Шухова, 2024. С. 38–44.
- 6. Субботин, С. Л. Определяющие соотношения теории упругопластических процессов для решения краевых задач при плоском напряженном состоянии / С. Л. Субботин, А. А. Алексеев // Вестник Чувашского государственного педагогического университета им. И.Я. Яковлева. Серия. Механика предельного состояния. 2022. № 2(52). С. 42–50. DOI 10.37972/chgpu.2022.52.2.005.
- 7. Булгаков, А. Н. Выявление момента появления отклика на диаграмме деформирования стали 45 по траекториям типа смещенного веера / А. Н. Булгаков, А. В. Боков // Международная научно-техническая конференция молодых ученых БГТУ им. В.Г. Шухова : сб. докл., Белгород, 20–21 мая 2024 года. Белгород: Белгородский государственный технологический университет им. В.Г. Шухова, 2024. С. 44–49.

УДК 621.316

РАСЧЕТ ТЕРМОДИНАМИЧЕСКОГО ЦИКЛА ПАРОКОМПРЕССИОННОГО ТЕПЛОВОГО НАСОСА МАЛОЙ МОШНОСТИ

Гаврик А. Н., студ., Жерносек С. В., к.т.н., доц. Витебский государственный технологический университет, г. Витебск, Республика Беларусь

Реферат. В современных условиях стремительного развития технологий и возрастающего внимания к энергосбережению тепловые насосы занимают важное место в системах отопления, вентиляции и кондиционирования. Актуальность внедрения теплонасосных технологий обусловлена необходимостью снижения потребления традиционных энергоносителей, уменьшения выбросов парниковых газов и обеспечения устойчивого развития энергетики. Понимание принципов работы и особенностей эксплуатации тепловых насосов является ключевым фактором для их эффективного применения. В работе представлены результаты расчета термодинамического цикла парокомпрессионного теплового насоса малой мощности.

<u>Ключевые слова:</u> термодинамический цикл, парокомпрессионный тепловой насос, испаритель, конденсатор, диаграмма состояния, температура, хладоагент.

По данным Международного энергетического агентства, к началу 2025 года во всем мире использовалось более 177 миллионов тепловых насосов, которые обеспечивают около 7 % мировых потребностей в отоплении. Лидерами в использовании ТНУ являются Китай и страны Северной Америки. В Европе наибольшее распространение тепловые насосы получили в Норвегии (обеспечивают порядка 60 % потребностей систем отопления), Швеция (43 %) и Финляндия (41 %) [1–7].

Термодинамический расчета цикла парокомпрессионного теплового насоса типа «вода-вода» заключается в определении его энергетических характеристик для заданных условий работы [8–10]. На рисунке 1 представлена принципиальная схема парокомпрессионного теплового насоса и его идеальные термодинамические циклы на T-s и p-h диаграммах.

Для построения рабочего цикла на диаграмме требуется точное определение параметров: t_0 — температура кипения; t_K — температура конденсации; t_{BC} — температура всасывания; t_{II} — температура переохлаждения [10, 11]. В качестве хладагента используется фреон R134a.